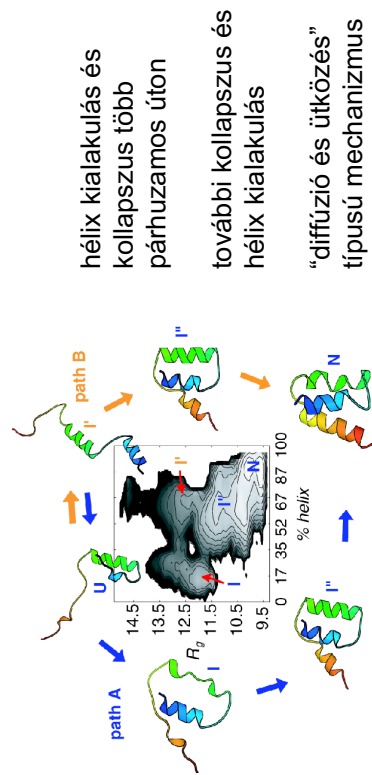


## Fehérjék szerkezetének kialakulása II

Osváth Szabolcs

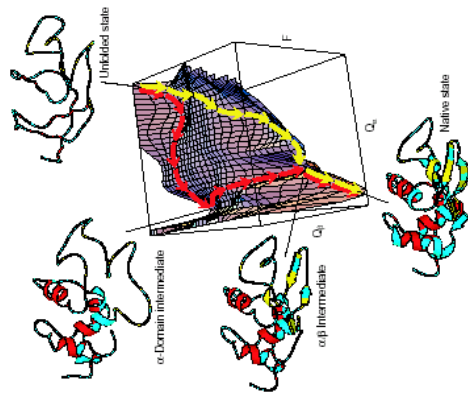
Semmelweis Egyetem  
szabolcs.osvath@eok.sote.hu

### Egy kis fehérje gombolyodása több párhuzamos úton

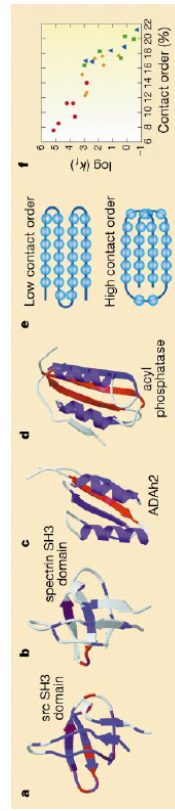


“diffúzió és ütközés”  
típusú mechanizmus

## Lizzozim gombolyodásának energiaselszín leírása

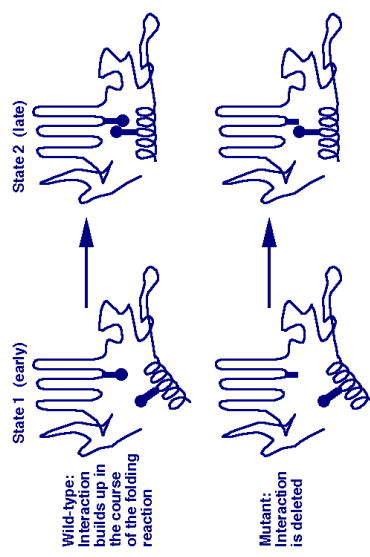


## A natív szerkezet hatása a gombolyodás kinetikájára

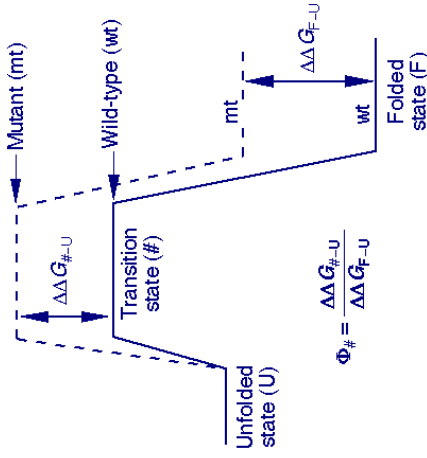


A kisebb kontaktus rendű szerkezetek gyorsabban gombolyodnak, mint a magasabb kontaktus rendűek. A korreláció a natív kontaktusok átlagos távolsága és gombolyodás sebessége között 6 nagyságrenden keresztül fennáll.

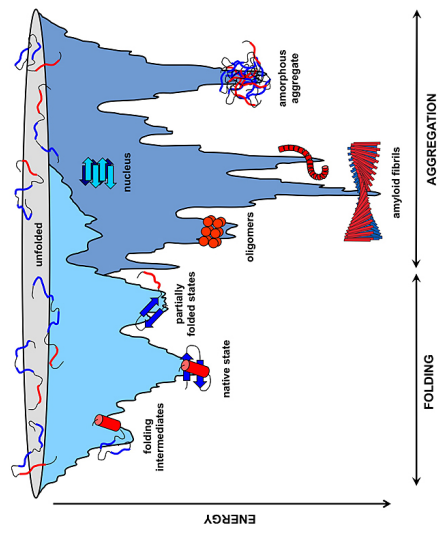
## A fehérje gombolyodás és aggregáció



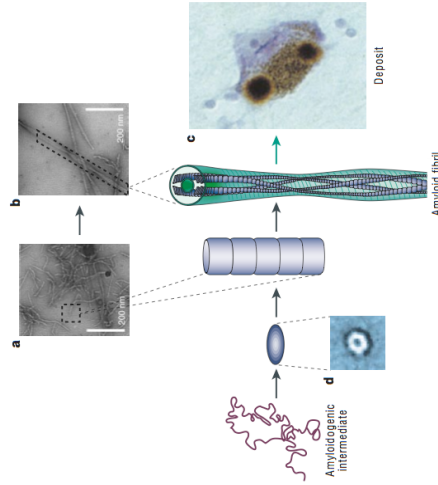
## A tranziens állapot vizsgálata Φ érték analízzsel



## Fehérje gombolyodás és aggregáció



## Amyloid plakk kialakulása

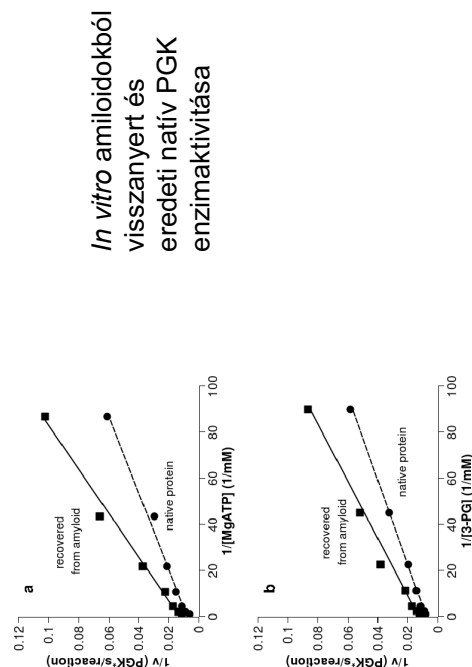


## Amloid

Az amloid elnevezést Rudolph Virchow vezette be 1854-ben, miután megfigyelte, hogy az agyban előforduló viaszos állagú abnormális képletek jóddal – a keményítőhöz hasonlóan – kékre festődnek (amyum latinul keményítő jelent).

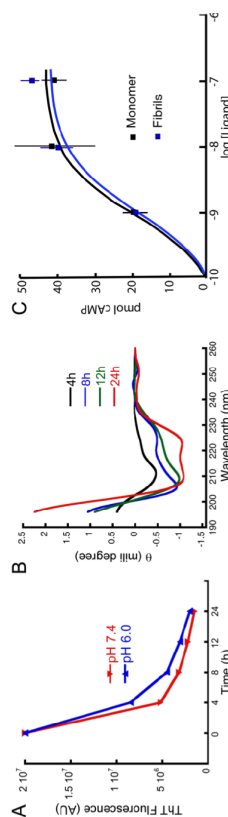
1859-ben Nicolaus Friedreich és August Kekulé vizsgálatai bebizonyították, hogy valójában fehérjéből áll.

## Előfordul, hogy aktív fehérje nyerhető vissza amloidból



*In vitro* amiloiddokból visszanyert és eredeti natív PGK enzimaktivitása

## Funkcionális amloid szerkezetek



Humán corticotropin releasing factor tárolódása  
amloyd szerkezetben.

## Amloid oligomerek szerkezete

18. sz.	súrlókör ismert
	Creutzfeldt-Jakob kór első leírása
	a súrlókör fertőző
	súrlókör: „lassú vírus”
	kuru, Creutzfeldt-Jakob kór, súrlókör hasonlítanak
	kuru csimpánz kísérletek (Daniel C. Gajdusek)
	Gajdusek Nobel díjat kap "for discoveries concerning new mechanisms for the origin and dissemination of infectious diseases"
1920	"prion" Stanley B. Prusiner
1939	első kerge marha kór eset
1954	1982
1959	1986
1966	1997
1976	

"prion" Stanley B. Prusiner  
első kerge marha kór eset  
Prusiner Nobel díjat kap "for his discovery of Prions  
– a new biological principle of infection"

## Amloidózissal járó betegségek tünetei

## Amloidózissal járó betegségek tünetei

Disease	Protein/peptide	Aggregate
Alzheimer's disease	A <sub>β</sub>	Senile plaque
Primary systemic amyloidosis	Ig light chain	
Senile systemic amyloidosis	Transthyretin	
Diabetes type II	Amylin	
Hemodialysis-associated amyloidosis	$\beta_2$ -microglobulin	
Familial systemic amyloidosis	Lysozyme mutant	
Huntington's disease	Huntingtin	Huntingtin inclusion
Parkinson's disease	$\alpha$ -synuclein	Lewy body
CJD, other prion diseases	PrP <sup>Sc</sup>	Prion aggregate
Tauopathies, Pick disease, FTD-P-17	Tau protein	PHF, Pick-body

## Az amloid szerkezetekről

mintegy két tucat betegség velejárója  
fehérje / peptid  
szisztemás / szövetspecifikus  
fiatalon / idős korban  
örökletes / sporadikus  
elsődleges / másodlagos  
alig kimutatható / kilogrammnyi mennyiségen  
*in vivo* funkcionális szerepe lehet  
*in vitro* betegséghez nem köthető fehérjéből is

## destabilizáció oka:

- fragmentálódás
- mutáció
- evolúciós változás
- megnövekedett koncentráció

## A fehérje destabilizációja vezet az amloid képződéshez

## Amiloidok és prekursor fehérjéik

Table 1. Amyloid fibril proteins and their precursors in humans.\*

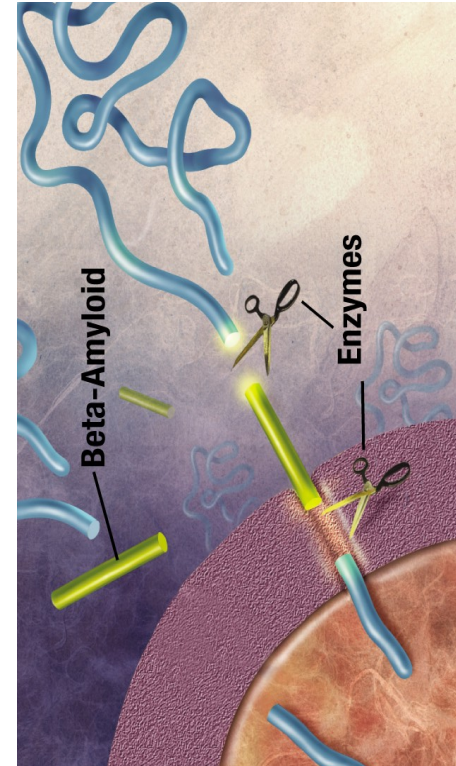
Amyloid protein	Precursor	Syndrome or involved tissues
Al-	Immunoglobulin light chain	S, L.
AfI	Immunoglobulin heavy chain	S, L.
Alz-M	$\beta$ -enuchsodulin	S
ATR	Transferrin	L <sup>a</sup>
AA	(Poly)serum AA	L <sup>a</sup>
AppoAl	Apolipoprotein Al	S
AppoAl	Apolipoprotein Al	S
AppoAV	Apolipoprotein AV	S
Asf1	Gatakin	S
Atx	Leucine-rich repeat protein	Familial
Atx	ATX	Familial
ATB	Threonine $\alpha$ -chain	Familial
ACN	Cystatin C	S
ABPP	Abrikop	S
AI-1 <sup>c-2</sup>	Leukocyte choriomeningitis factor 2	S
ADan*	ADanP	S
Al	Al protein precursor (APP)	L
Al	Alu protein	L
Al	Alu protein	L
Acid	Ito protein	L
AEPP	Idiotypic polypeptide**	Kids of patients with Alzheimer's disease
ANF	ANF	Cardiac arrhythmias
APo	Protein	Ageing pulmonary
Alis	Insulin	Proteotumias
Alz	Leuchtenberg	Leukemic
Alz	Katzenstein	Stroke, arteriovenous malformations
Alz	Lactotremin	Cervical spinal canal
Alz	Odebergic amylakinase-associated protein	Cervical spinal canal
AS-21	Sorcinophilin 1	Vesicular scirrhous carcinoma
ACBap	Alz	L

\*Proteins are listed, when possible, according to relationship. Thus, apolipoproteins are grouped together, as are polyisoproteid hormones.

<sup>a</sup>Also called amylin.

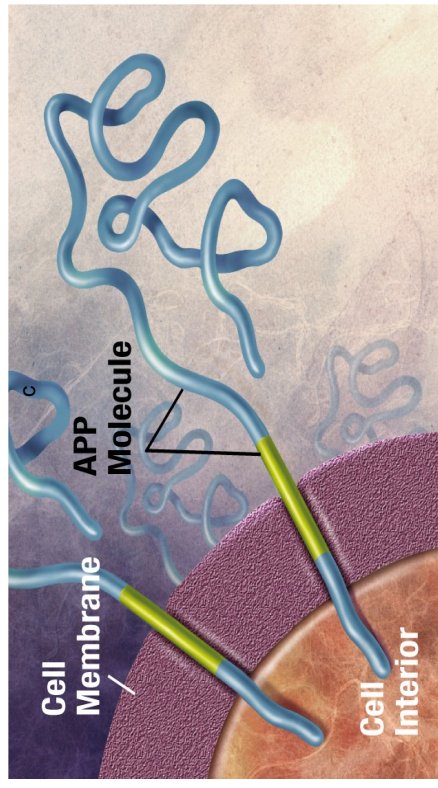
<sup>b</sup>Also called amylin.

## Alzheimer kór, $\beta$ amiloid plakkok kialakulása *in vivo*



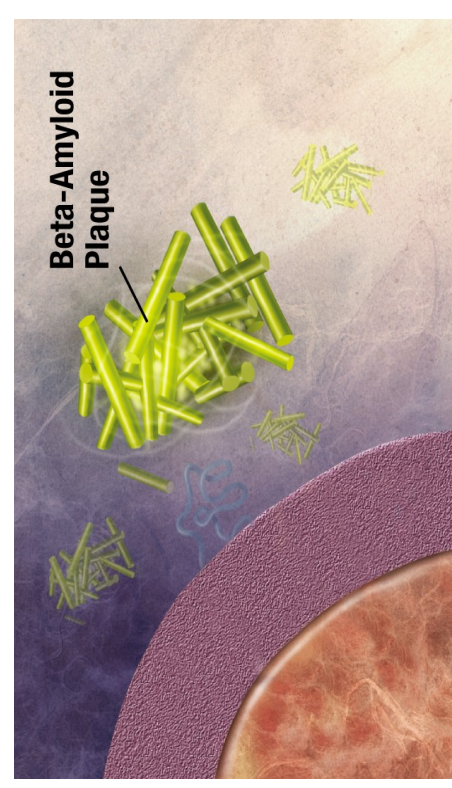
Enzimek elvágják az amyloid prekursor proteinet  $\beta$ -amiloid fehérjét termelve.

## Alzheimer kór, $\beta$ amiloid plakkok kialakulása *in vivo*



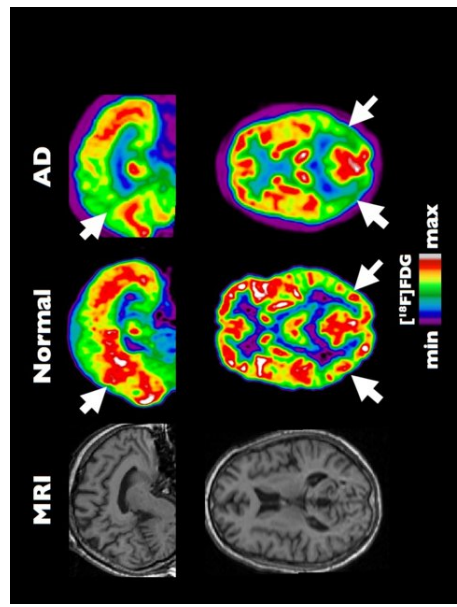
Az amyloid prekursor protein az agysejthez köt.

## Alzheimer kór, $\beta$ amiloid plakkok kialakulása *in vivo*



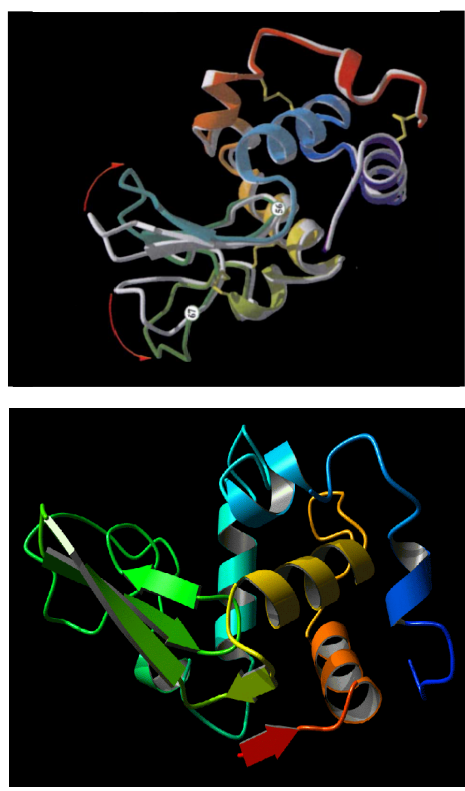
Az amyloid prekursor protein aggregálódik.

### Alzheimer kór, $\beta$ amiloid plakkok kialakulása *in vivo*



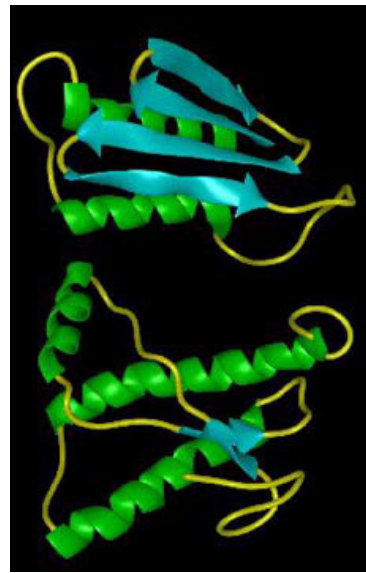
Egészséges és Alzheimer kóros ember agyi aktivitása PET képen.

### Örökletes álmatlanság, lizozim amiloid plakkok *in vivo*



A mutáció által destabilizált lizozim amiloid szerkezetekbe aggregálódik.

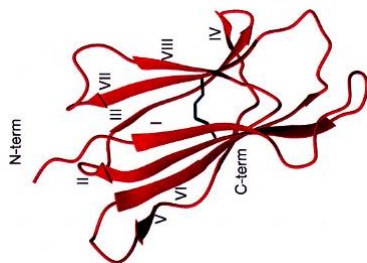
### Creutzfeldt-Jakob kór, prion amiloid plakkok *in vivo*



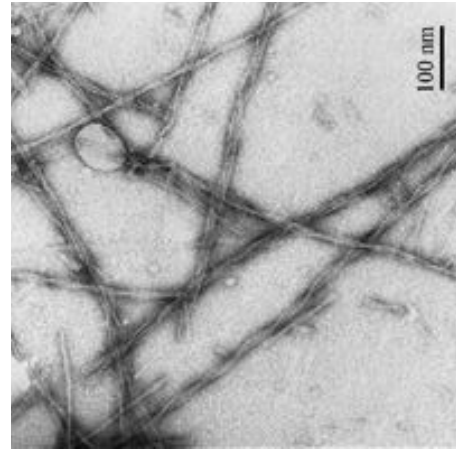
PrP<sup>C</sup> és PrP<sup>Sc</sup> szerkezete

A  $\beta$ 2 mikroglobulin a dialízishez kapcsolódó amiloidózisban rakódik le.

### $\beta_2$ mikroglobulin

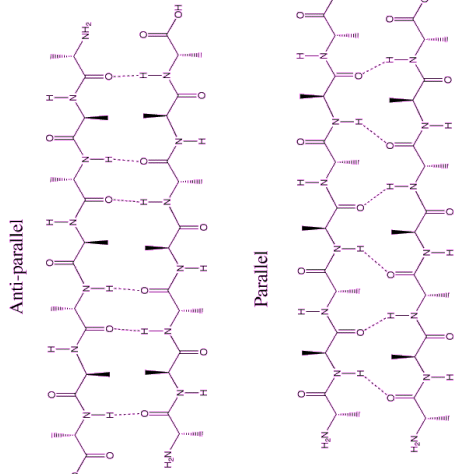


## Amloid szálak szerkezete



6 - 12 nm vastag szálak  
egyenes  
elágazásmentes  
stabil  
megfelelően festődő  
kereszt  $\beta$ -redős

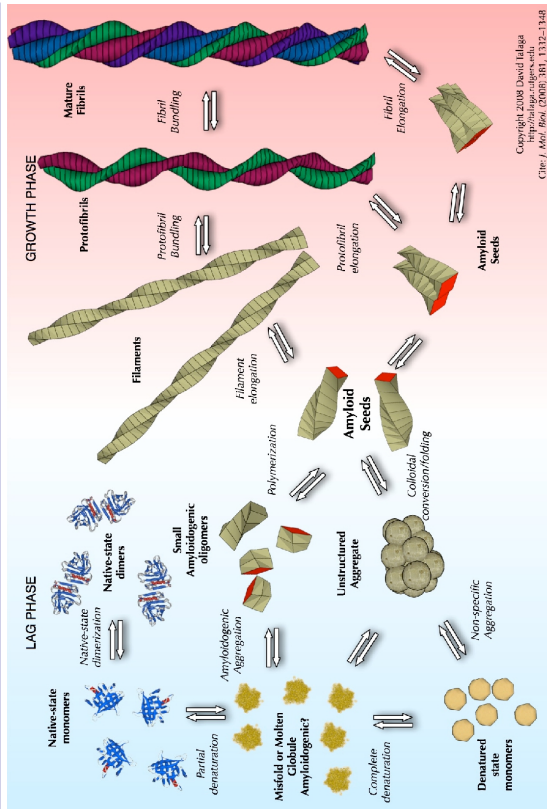
## Fehérjék polimerizációs csapdája



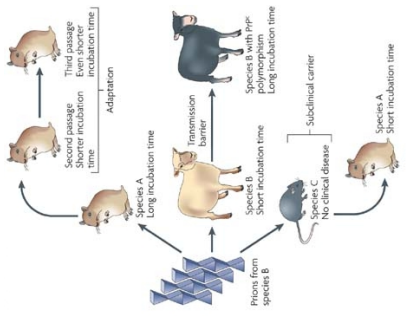
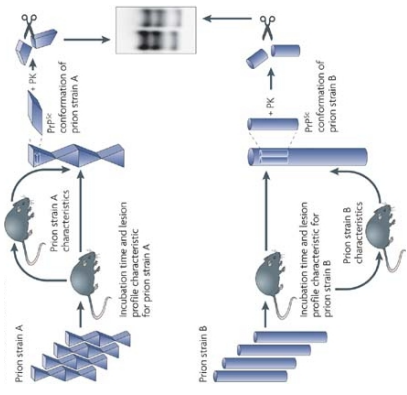
## Amloid plakk szerkezeti hierarchiája

$\beta$ -redő kialakulása – hidrogén hid kötések  
kereszt  $\beta$ -redős szerkezet – Van der Waals erők, „steric zipper”  
szálak képződése – nem kovalens kötések

## Amloid szálak növekedése



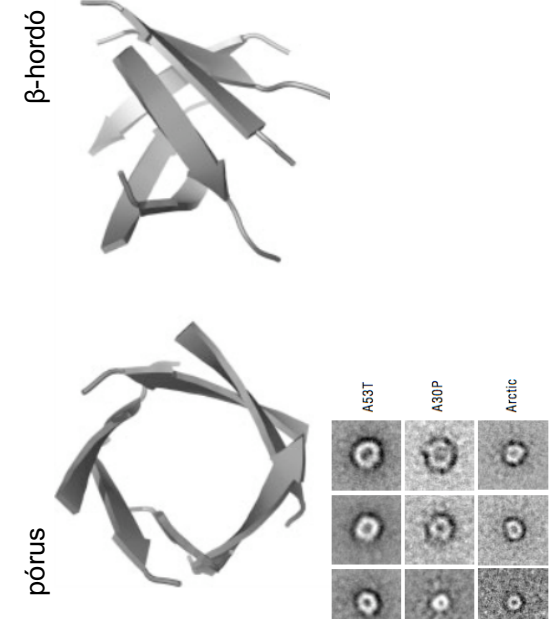
## Prion szerkezeti „törzsek”



## Amiloid oligomerek

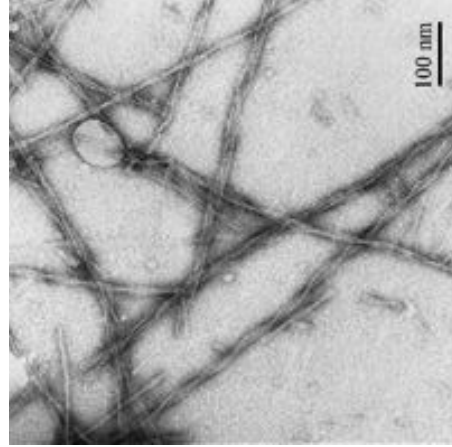
az amiloid fibrillumok kialakulása felé vezető aggregált szerkezetek  
valószínűleg toxikusabbak, mint az amiloid plakkok  
eltérő fehérjék ből keletkezett oligomerek szerkezete hasonló,  
hasonló hatásmechanizmusról utalva

## Fajok közötti „gát”



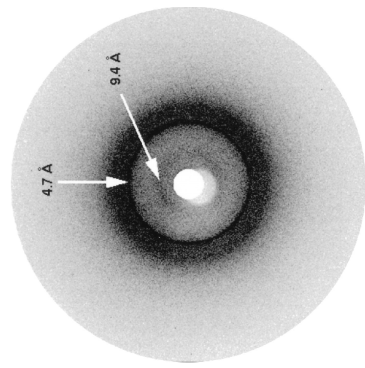
## Amiloid oligomerek szerkezete

### Amiloid szálak kimutatása, elektronmikroszkópia



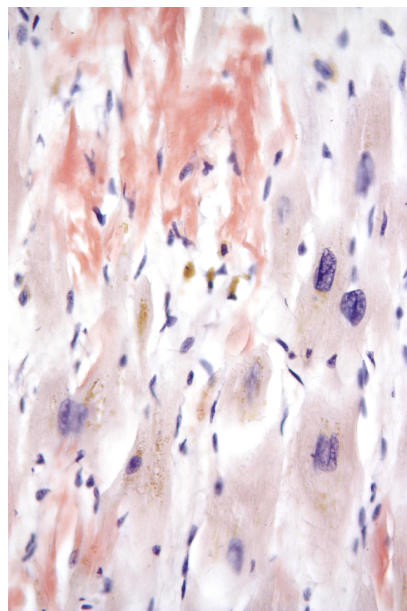
foszfatidilinozitol 3-kináz SH3 doménből *in vitro* növesztett amiloid szálak transzmissziós elektronmikroszkóppal készített képe

### Amiloid szálak kimutatása, kisszögű röntgen szórás



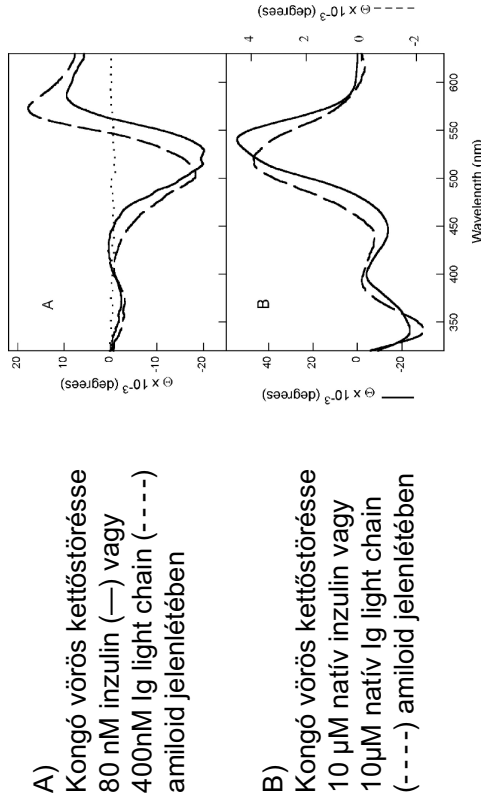
A foszfatidilinozitol 3-kináz SH3 doménből *in vitro* növesztett amiloid szálak kisszögű röntgen szórás mintázata jól mutatja az amiloidokra jellemző β síkokat alkotó szálak (4.7 Å) és a β síkok közötti (9.4 Å) távolságokat.

### Amiloidok kimutatása, Kongó vörös kettőstörés



Amiloid plakkok kimutatása Kongó vörös festéssel szívizom szövetben

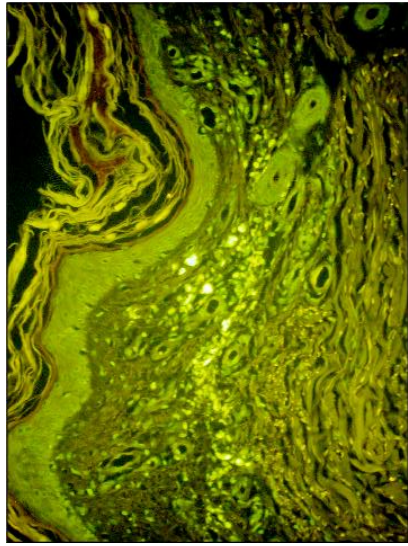
### Amiloidok kimutatása, Kongó vörös kettőstörés



A)  
Kongó vörös kettőstörésse  
80 nM inzulin (—) vagy  
400nM Ig light chain (- - -)  
amiloid jelenlétében

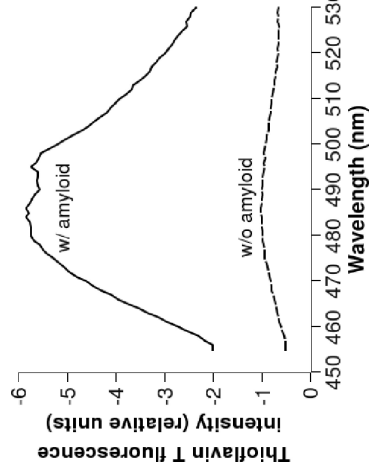
B)  
Kongó vörös kettőstörésse  
10  $\mu$ M natív inzulin vagy  
10 $\mu$ M natív Ig light chain  
(- - -) amiloid jelenlétében

### Amiloidok kimutatása, Thioflavin T festés



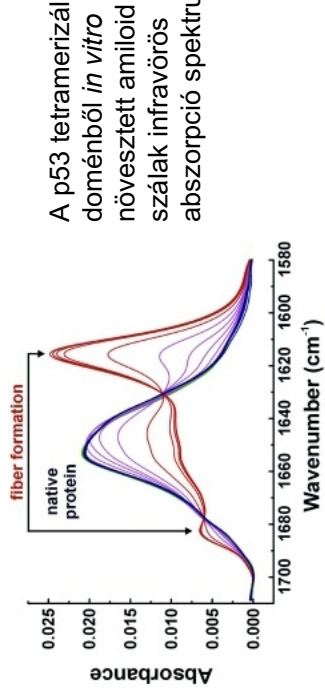
Amiloid lerekódások kimutatása a bőrben  
Thioflavin T festéssel

### Amiloidok kimutatása, Thioflavin t fluoreszcencia



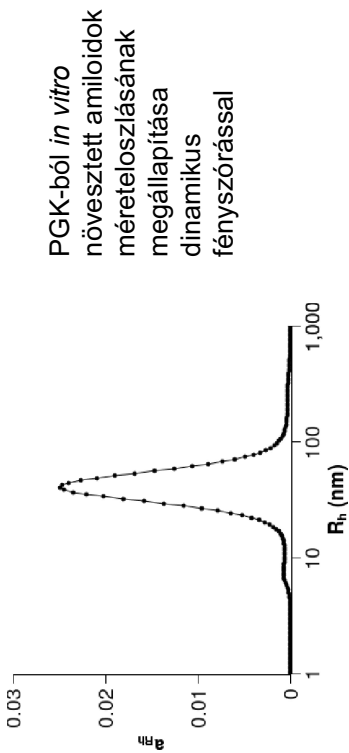
Thioflavin t fluoreszcencia emisszió PGK  
amiloid szálak jelenlétében és nélkülük

### Amiloid szálak kimutatása, infravörös abszorpció



A p53 tetramerizáló  
doménből *in vitro*  
növesztett amiloid  
szálak infravörös  
abszorpció spektruma.

### Amiloid szálak mérteleszlása, dinamikus fényszórás



PGK-ból *in vitro*  
növesztett amiloidök  
mérteleszlásának  
megállapítása  
dinamikus  
fényszórással